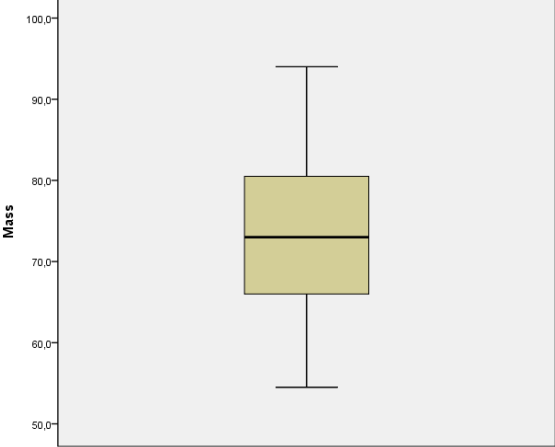
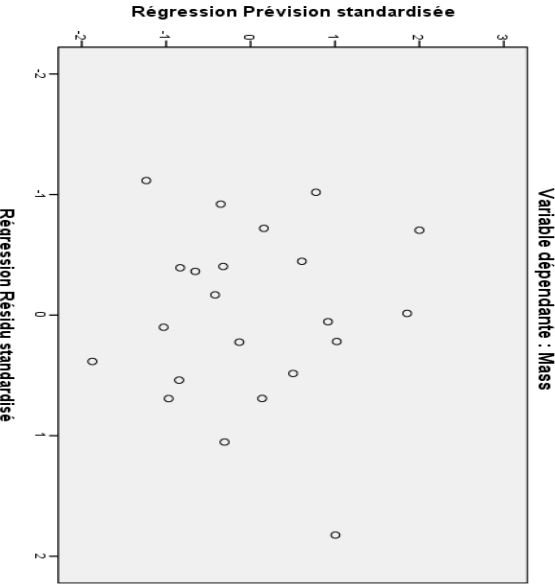


	Mass	Fore	Bicep	Chest	Neck	Shoulder	Waist	Height	Calf	Thigh	Head
N	22	22	22	22	22	22	22	22	22	22	22
Moyenne	73,932	27,773	33,205	99,636	37,591	111,818	85,568	178,477	37,341	49,727	58,068
Minimum	54,5	24,0	28,5	87,5	35,0	102,0	74,0	168,5	32,0	42,0	55,5
Maximum	94,0	31,0	38,0	112,0	40,5	121,0	101,0	188,0	42,0	57,5	60,0
Ecart-type	10,9635	1,9194	2,9059	6,7333	1,8364	6,3837	7,7954	6,2000	2,4171	3,5947	1,2564
Asymétrie	,281	-,244	-,115	,003	-,318	-,230	,485	-,027	-,478	-,316	-,249
Kurtosis	-,603	-,786	-1,236	-,854	-1,356	-1,393	-,646	-1,072	,171	1,125	-,480



Matrice de corrélation

		Mass	Fore	Bicep	Chest	Neck	Shoulder	Waist	Height	Calf	Thigh	Head
Corrélation	Mass	1,000	,899	,727	,776	,808	,857	,915	,492	,832	,842	,247
	Fore	,899	1,000	,813	,767	,813	,867	,758	,354	,813	,788	,303
	Bicep	,727	,813	1,000	,855	,824	,720	,665	,066	,642	,697	,420
	Chest	,776	,767	,855	1,000	,828	,800	,715	,202	,644	,780	,438
	Neck	,808	,813	,824	,828	1,000	,831	,753	,391	,610	,705	,322
	Shoulder	,857	,867	,720	,800	,831	1,000	,746	,484	,685	,683	,226
	Waist	,915	,758	,665	,715	,753	,746	1,000	,351	,689	,740	,300
	Height	,492	,354	,066	,202	,391	,484	,351	1,000	,398	,286	,158
	Calf	,832	,813	,642	,644	,610	,685	,689	,398	1,000	,750	,274
	Thigh	,842	,788	,697	,780	,705	,683	,740	,286	,750	1,000	,236
	Head	,247	,303	,420	,438	,322	,226	,300	,158	,274	,236	1,000



Récapitulatif des modèles^b

Modèle	R	R-deux	R-deux ajusté	Erreur standard de l'estimation	Durbin-Watson
1	,989 ^a	,977	,956	2,2868	1,625

a. Valeurs prédites : (constantes), Head, Height, Thigh, Neck, Calf, Waist, Shoulder, Bicep, Chest, Fore

b. Variable dépendante : Mass

ANOVA^b

Modèle	Somme des carrés	ddl	Moyenne des carrés	D	Sig.
1 Régression	2466,624	10	246,662	47,168	,000 ^a
Résidu	57,524	11	5,229		
Total	2524,148	21			

a. Valeurs prédites : (constantes), Head, Height, Thigh, Neck, Calf, Waist, Shoulder, Bicep, Chest, Fore

b. Variable dépendante : Mass

Coefficients^a

Modèle		Coefficients non standardisés		Coefficients standardisés	t	Sig.
		A	Erreur standard	Bêta		
1	(Constante)	-69,517	29,037		-2,394	,036
	Fore	1,782	,855	,312	2,085	,061
	Bicep	,155	,485	,041	,320	,755
	Chest	,189	,226	,116	,838	,420
	Neck	-,482	,721	-,081	-,669	,518
	Shoulder	-,029	,239	-,017	-,122	,905
	Waist	,661	,116	,470	5,679	,000
	Height	,318	,130	,180	2,438	,033
	Calf	,446	,413	,098	1,081	,303
	Thigh	,297	,305	,097	,974	,351
	Head	-,920	,520	-,105	-1,768	,105

a. Variable dépendante : Mass

Variance totale expliquée

Composante	Valeurs propres initiales		
	Total	% de la variance	% cumulés
1	7,451	67,735	67,735
2	1,098	9,985	77,720
3	,883	8,025	85,745
4	,505	4,591	90,336
5	,337	3,067	93,404
6	,271	2,462	95,866
7	,173	1,575	97,440
8	,140	1,272	98,713
9	,081	,738	99,451
10	,045	,408	99,858
11	,016	,142	100,000

Méthode d'extraction : Analyse en composantes principales.

Qualité de représentation

	Initial	Extraction
Mass	1,000	,964
Fore	1,000	,883
Bicep	1,000	,914
Chest	1,000	,890
Neck	1,000	,920
Shoulder	1,000	,903
Waist	1,000	,772
Height	1,000	,973
Calf	1,000	,891
Thigh	1,000	,834
Head	1,000	,993

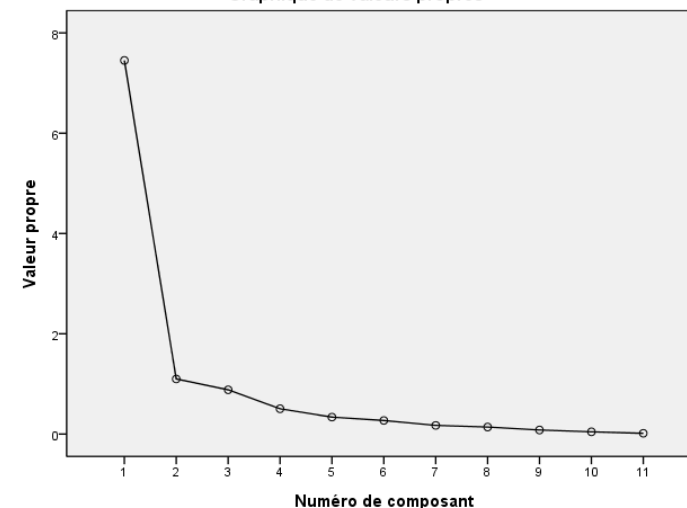
Méthode d'extraction : Analyse en composantes principales.

Qualité de représentation

	Initial	Extraction
Mass	1,000	,979
Fore	1,000	,918
Bicep	1,000	,934
Chest	1,000	,890
Neck	1,000	,921
Shoulder	1,000	,912
Waist	1,000	,958
Height	1,000	,976
Calf	1,000	,953
Thigh	1,000	,841
Head	1,000	,993

Méthode d'extraction : Analyse en composantes principales.

Graphique de valeurs propres



Corrélations reproduites

b. Les résidus sont calculés entre la covariance observée et la covariance reproduite. Il y a 6 (10,0%) résidus non redondants avec des valeurs absolues supérieures à 0,05.

Correlations reproduites

b. Les résidus sont calculés entre la covariance observée et la covariance reproduite. Il y a 4 (7,0%) résidus non redondants avec des valeurs absolues supérieures à 0,05.

Matrice des composantes^a

	Composante			
	1	2	3	4
Mass	,956	,187	-,073	,099
Fore	,935	,014	-,090	,033
Bicep	,854	-,401	-,094	-,124
Chest	,890	-,279	-,014	-,141
Neck	,897	-,044	-,003	-,338
Shoulder	,900	,154	-,041	-,260
Waist	,870	,065	-,047	,090
Height	,429	,743	,474	-,113
Calf	,831	,139	-,033	,424
Thigh	,862	-,009	-,176	,245
Head	,391	-,473	,774	,129

Méthode d'extraction : Analyse en composantes principales.

Matrice des composantes après rotation^a

	Composante			
	1	2	3	4
Mass	,578	,729	,311	,042
Fore	,652	,647	,172	,101
Bicep	,801	,424	-,151	,265
Chest	,792	,434	-,001	,271
Neck	,861	,329	,237	,123
Shoulder	,770	,423	,362	,006
Waist	,549	,644	,208	,108
Height	,105	,194	,959	,066
Calf	,288	,866	,197	,139
Thigh	,486	,769	,050	,069
Head	,181	,101	,069	,972

Méthode d'extraction : Analyse en composantes principales.

Méthode de rotation : Varimax avec normalisation de Kaiser.

Indice KMO et test de Bartlett

Mesure de précision de l'échantillonnage de Kaiser-Meyer-Olkin.		,780
Test de sphéricité de Bartlett	Khi-deux approximé	240,823
	ddl	55
	Signification de Bartlett	,000

